

# Построение и исследование нейронной сети с модифицированной функцией потерь и периодической функцией активации для решения дифференциальных уравнений в частных производных

Диков Александр Евгеньевич  
Б20-221

Научный руководитель:  
Д. П. Макаревич, ООО "РЦР"



- 1 Введение
- 2 Идеи метода
  - Основные принципы
- 3 Исследование
  - Тестирование оптимизаторов
  - Адаптивное добавление точек
  - Влияние регуляризации
  - Параметризация функции потерь
  - Использование планировщиков
- 4 Общий вид алгоритма
  - Принципиальная схема
  - Инициализация
- 5 Дальнейшие планы
- 6 Выводы
- 7 Источники

- Дифференциальные уравнения в частных производных описывают множество физических явлений и зачастую они решаются традиционными численными методами. Однако, в ситуациях, когда нужно определить значение какой-либо величины (например, в экспериментальных установках) они оказываются неэффективными по времени.
- В рамках моего исследования я сосредоточился на применении машинного обучения для решения физических задач. Мной было рассмотрено несколько способов по улучшению качества предсказаний модели, среди которых использование модификации функции потерь и периодической функции активации.

# Основные принципы

Пусть есть задача:

$$\begin{cases} \frac{\partial u}{\partial t} = \alpha^2 \frac{\partial^2 u}{\partial x^2}, & 0 < x < L, \quad t > 0, \\ u(x, 0) = u_0(x), \\ u(0, t) = u_L(t), \quad u(L, t) = u_R(t) \end{cases} \quad (1)$$

Введем компоненты функции потерь:

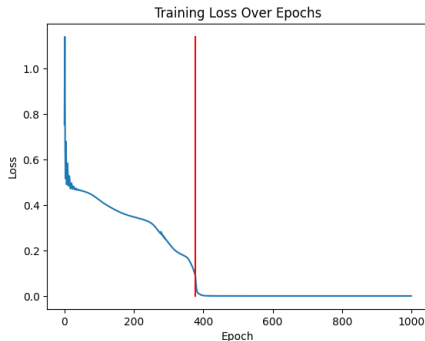
$$\begin{aligned} \mathcal{L} &= \omega_1 \mathcal{L}_{\text{PDE}} + \omega_2 \mathcal{L}_{\text{IC}} + \omega_3 \mathcal{L}_{\text{BC}}, \\ \mathcal{L}_{\text{PDE}} &= \frac{1}{N_{\text{PDE}}} \sum_{i=1}^{N_{\text{PDE}}} \left| \frac{\partial u}{\partial t} - \alpha^2 \frac{\partial^2 u}{\partial x^2} \right|^2, \\ \mathcal{L}_{\text{IC}} &= \frac{1}{N_{\text{IC}}} \sum_{k=1}^{N_{\text{IC}}} |u(x_k, 0) - u_0(x_k)|^2, \\ \mathcal{L}_{\text{BC}} &= \frac{1}{N_{\text{BC}}} \sum_{j=1}^{N_{\text{BC}}} |u(x_j, t_j) - u_b(x_j, t_j)|^2 \end{aligned} \quad (2)$$

# Тестирование оптимизаторов

Было проведено исследование оптимизаторов. Было выбрано два наиболее распространённых при решении задачи - ADAM и L-BFGS. Как было описано в статье<sup>a</sup> L-BFGS свойственно находить минимум с большей точностью за меньшее число итераций, но при этом высок шанс попадания в локальный минимум - поэтому можно применять их совместно.

---

<sup>a</sup>S. Berrone, C. Canuto, M. Pintore, and N. Sukumar. Enforcing dirichlet boundary conditions in physics-informed neural networks and variational physics-informed neural networks. *Heliyon*, 9(8):e18820, August 2023.



Гибридный оптимизатор

# Тестирование оптимизаторов

На примере уравнения осциллятора результат попадания в локальный минимум выглядит так:

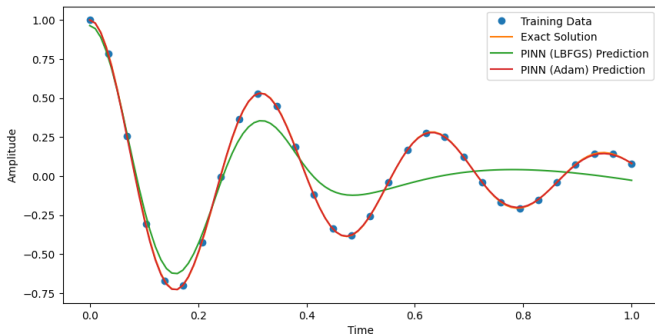
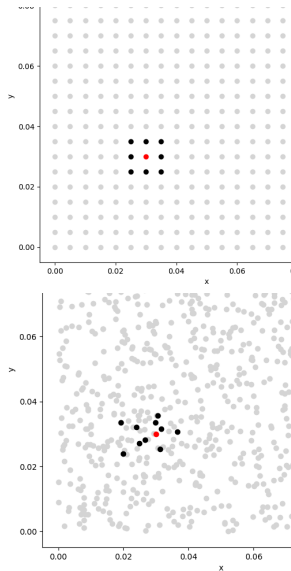


Рис. 1: Случай попадания оптимизатора в локальный минимум

Непосредственно подход добавления точек в выборку был предложен в статье<sup>b</sup>, там же был описан принципиальный алгоритм. Предлагалось добавлять одну дополнительную точку коллокации к той, для которой функция потерь принимает максимальное значение. Однако ошибка будет уменьшаться быстрее, если добавлять не одну точку, а несколько, в  $\epsilon$  окрестности этой точки с учетом выбранной конфигурации.

---

<sup>b</sup>Lu Lu, Xuhui Meng, Zhiping Mao, and George Em Karniadakis. Deepxde: A deep learning library for solving differential equations. SIAM Review, 63(1):208–228, 2021.



# Влияние регуляризации

Для получения более гладких решений можно использовать регуляризацию весов модели. Была реализована возможность выбора  $\mathcal{L}_1$ (*Lasso*),  $\mathcal{L}_2$ (*Ridge*) и  $\mathcal{L}_3$ (*ElasticNet*) определяемых по следующим формулам:

$$\mathcal{L}_1(\theta) = \sum_{i=1}^n |\theta_i|, \quad (3)$$

$$\mathcal{L}_2(\theta) = \sum_{i=1}^n \theta_i^2, \quad (4)$$

$$\mathcal{L}_3(\theta) = r \sum_{i=1}^n |\theta_i| + \frac{1-r}{2} \sum_{i=1}^n \theta_i^2 \quad (5)$$



# Влияние регуляризации

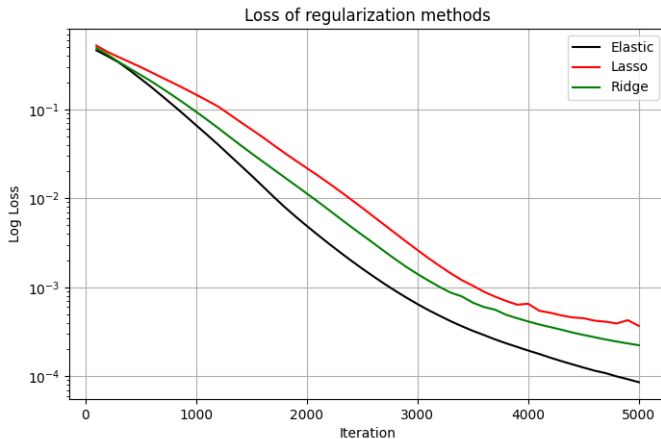


Рис. 2: Сравнение регуляризаций

# Параметризация функции потерь

Поскольку общая функция потерь состоит из трех слагаемых (без учета регуляризационного члена) можно каждому слагаемому присвоить вес, который будет отражать "важность" минимизации ошибки в точках определенной категории. Этот вес можно варьировать в процессе обучения для достижения более равномерной точности.

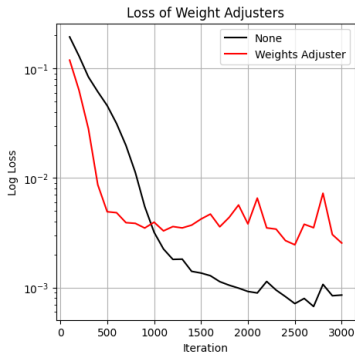


Рис. 3: Влияние множителей функции потерь на сходимость

# Использование планировщиков

Одним из самых главных гиперпараметров сети является шаг скорости обучения.

$$\theta_i = \theta_{i-1} - \alpha \cdot \nabla_{\theta} J(\theta) \quad (6)$$

Где  $\theta_{i-1}$  — текущее значение параметров модели,  $\alpha$  — скорость обучения,  $J(\theta)$  — функция потерь.

Существуют планировщики (***scheduler***) - объекты, которые меняет размер шага при определенных условиях. Было рассмотрено два планировщика:

- 1 StepLR: Уменьшает скорость обучения на заданный коэффициент каждые N эпох.
- 2 ReduceLROnPlateau: Уменьшает скорость обучения, когда метрика ошибки перестает улучшаться.
- 3 ExponentialLR: Уменьшает скорость обучения на каждой эпохе, умножая её на заданный коэффициент.

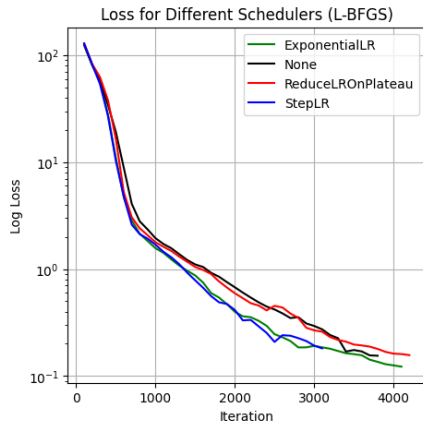
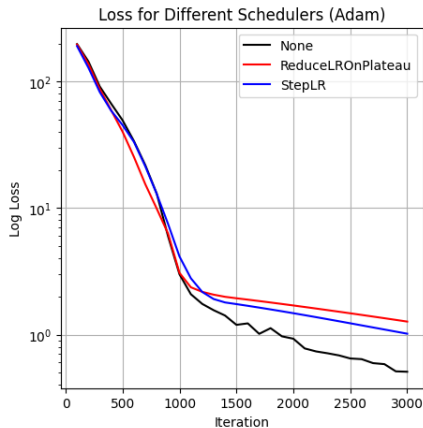


Рис. 4: Влияние планировщика на сходимость

# Принципиальная схема

Ниже можно видеть принципиальное устройство полученной сети и вспомогательных модулей, реализующий все упомянутые выше доработки.

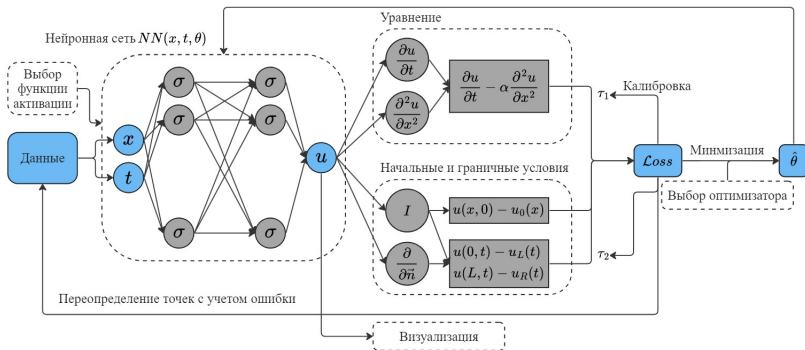


Рис. 5: Принципиальное устройство сети

Входной слой:  $\mathcal{N}^0(\mathbf{x}) = \mathbf{x} \in \mathbb{R}^{d_{\text{in}}}$ ,

Скрытый слой:  $\mathcal{N}^\ell(\mathbf{x}) = \sigma\left(\mathbf{W}^\ell \mathcal{N}^{\ell-1}(\mathbf{x}) + \mathbf{b}^\ell\right) \in \mathbb{R}^{N_\ell}$  для

$1 \leq \ell \leq L-1$ ,

Выходной слой:  $\mathcal{N}^L(\mathbf{x}) = \mathbf{W}^L \mathcal{N}^{L-1}(\mathbf{x}) + \mathbf{b}^L \in \mathbb{R}^{d_{\text{out}}}$

---

Algorithm 1 PINN для решения дифференциальных уравнений

---

- 1: Построить нейронную сеть  $\hat{u}(\mathbf{x}; \boldsymbol{\theta})$  с параметрами  $\boldsymbol{\theta}$ .
  - 2: Задать два набора обучающих данных  $\mathcal{T}_{PDE}$ ,  $\mathcal{T}_{IC}$  и  $\mathcal{T}_{BC}$  для уравнения, начальных и граничных условий.
  - 3: Задать функцию потерь, суммируя взвешенные  $L^2$  нормы остатков уравнения, начальных и граничных условий.
  - 4: Обучить нейронную сеть для нахождения лучших параметров  $\boldsymbol{\theta}^*$  путем минимизации функции потерь  $\mathcal{L}(\boldsymbol{\theta}; \mathcal{T})$ .
-

- Необходимо реализовать граничные условия второго и третьего рода. Существует несколько статей на эту тему, поскольку это не тривиальная задача.
- Исследовать распределение ошибки.
- Изучение возможности использования *fine – tuning* для дообучения на похожих задачах, что можно было экономить существенно время.
- Провести сравнение с методом конечного элемента. В одной из статей предлагалось использовать для этого FEniCS с открытым исходным кодом.

- PINN предоставляет мощный инструмент для численного решения дифференциальных уравнений в частных производных, а благодаря гибкости нейронных сетей позволяет адаптировать метод для различных физических задач.
- Метод является бессеточным, что позволяет в перспективе работать со сложными геометриями или пользоваться быстротой работы обученной нейронной сети.
- Обучение может потребовать значительного времени и вычислительных ресурсов.
- Дальнейшие исследования могут сосредоточиться на оптимальных архитектурах сетей для различных задач, в том числе многомерных или с более сложными уравнениями.



- [1] S. Berrone, C. Canuto, M. Pintore, and N. Sukumar.  
Enforcing dirichlet boundary conditions in physics-informed neural networks and variational physics-informed neural networks.  
*Heliyon*, 9(8):e18820, August 2023.
- [2] Stefano Markidis.  
The old and the new: Can physics-informed deep-learning replace traditional linear solvers?, 2021.
- [3] Yeonjong Shin.  
On the convergence of physics informed neural networks for linear second-order elliptic and parabolic type pdes.  
*Communications in Computational Physics*, 28(5):2042–2074, June 2020.

- [4] Lu Lu, Xuhui Meng, Zhiping Mao, and George Em Karniadakis.  
Deepxde: A deep learning library for solving differential equations.  
SIAM Review, 63(1):208–228, 2021.
- [5] Vincent Sitzmann, Julien N. P. Martel, Alexander W. Bergman,  
David B. Lindell, and Gordon Wetzstein.  
Implicit neural representations with periodic activation functions,  
2020.
- [6] M. Raissi, P. Perdikaris, and G.E. Karniadakis.  
Physics-informed neural networks: A deep learning framework for  
solving forward and inverse problems involving nonlinear partial  
differential equations.  
Journal of Computational Physics, 378:686–707, 2019.

Спасибо за внимание